

# **التنبؤ باستعمال نماذج الانحدار الذاتي العامة المنشورة بعدم تجانس التباين (GARCH) الموسمية مع تطبيق عملي**

أ.م.د. فارس طاهر حسن / كلية الادارة والاقتصاد / جامعة بغداد

الباحث / بريدة برهان كاظم

## **المستخلص :**

يتناول البحث أحدى نماذج الانحدار الذاتي المعتمدة المنشورة بعدم تجانس التباين بوجود عنصر الموسمية، لغرض تطبيقها على البيانات المالية اليومية عالية التردد التي تتميز بوجود عدم تجانس الموسمي المنشور ، فقد تم الاعتماد على ما يسمى بـنماذج الانحدار الذاتي المعتمد المنشور بعدم تجانس التباين الموسمي الذي يرمز له اختصارا (SGARCH) والذي أثبت فاعليته بالتعبير عن ظاهرة الموسمية على العكس من نماذج GARCH الاعتيادية . وقد تلخص عمل البحث بدراسة البيانات اليومية لسعر صرف لدينار مقابل الدولار ، فقد تم استخدام دالة الارتباط الذاتي للكشف عن وجود الموسمية أولاً، بعد ذلك تم تشخيص وجود مشكلة عدم التجانس ، مروراً بمرحلة التقدير باستخدام طريقة الامكان الاعظم الشرطية وعلى افتراض أن الخطأ العشوائي يتوزع توزيعاً طبيعياً مع التطبيق على أكثر من رتبة للنموذج الموسمي ، ثم تحديد رتبة الانموذج الملائم باستخدام العديد من المعايير الخاصة وصولاً إلى مرحلة التنبؤ ، وقد تبين من خلال مراحل التطبيق على بيانات الدراسة أن أفضل انموذج للتنبؤ بالتقديرات هو (SGARCH (1,0)(1,0).

**المصطلحات الرئيسية للبحث / عدم تجانس الموسمي المنشور ، الموسمية .**



مجلة العلوم  
الاقتصادية والإدارية  
العدد 96 المجلد 23  
الصفحات 362-341

\*البحث مستقل من رسالة ماجستير



## المقدمة

شغلت السلسل الزمنية نطاق واسع في العديد من مجالات الحياة العملية ولعل أهم هذه المجالات هي المجالات الاقتصادية بشكل عام ومجال المال بشكل خاص والتي تشمل في دراستنا هذه سعر صرف الدينار العراقي مقابل الدولار الامريكي ، وقد لوحظ على نطاق واسع أن الانماط الموسمية يمكن أن توجد في هيكلية التباين المشروط ، من هنا ظهر الاهتمام بدراسة نماذج ( seasonal GARCH ) التي تعرض العديد من الميزات المشابهة لنماذج GARCH القياسية .

## مشكلة البحث

تظهر مشكلة عدم تجانس التباين في السلسل الزمنية والتي تؤدي إلى خلل في تقدير معلمات النموذج وتعاني السلسل الزمنية الموسمية من نفس المشكلة وهي عدم تجانس التباين لذلك كانت مشكلة البحث هي دراسة السلسل الزمنية التي تعاني من عدم تجانس التباين الموسمي والذي يظهر بشكل جلي في الظواهر الاقتصادية ومنها أسعار صرف الدينار العراقي مقابل الدولار الامريكي .

## هدف البحث

أن الظواهر الاقتصادية تعاني بشكل كبير من عدم تجانس التباين وأن وجود سلسل زمنية موسمية للظواهر الاقتصادية أوجب علينا إيجاد نماذج تعالج هذه المشاكل مع بعضها ، لذلك فإن هدف البحث كان تطبيق نماذج الانحدار الذاتي المعمرة المشروطة بعدم تجانس التباين الموسمية SGARCH وذلك على بيانات يومية لأسعار صرف الدينار العراقي مقابل الدولار الامريكي .

## الجانب النظري

تستخدم العديد من نماذج السلسل الزمنية في التنبؤ بالسلسل الزمنية المالية ، ومنها نماذج (BOX-JENKINS) التي ترتكز على فرض ثبات تباين الخطأ العشوائي . وعلى الرغم من ذلك توجد العديد من السلسل الزمنية التي تظهر صورا من السكون النسيي متبعا بفترات من التقلبات الشديدة ، أي أن هناك ضهورا واضح لعدم ثبات التباين ، وهذا ما دعى إلى إيجاد نماذج تأخذ بنظر العناية عدم تحقق هذا الفرض .

### نماذج الانحدار الذاتي المعمرة المشروطة بعدم تجانس التباين الموسمية المضاعفة : SGARCH ( $p, q$ ) $\times$ ( $P, Q$ )<sub>s</sub>

**Multiplicative seasonal Generalized Autoregressive Conditional Heteroscedastic Models**

تزاييد الاهتمام باستخدام نماذج التقلبات الموسمية<sup>[18]</sup> أذ تستخدم هذه النماذج لتوصيف الانماط الموسمية بشكل أفضل والذي يكون واضحا وبشكل يثير الاهتمام في كثير من السلسل الزمنية المالية التي تسلك السلوك الموسمي ، أذ أن الانماط الموسمية تعد المصدر الرئيس لتقلبات السلسل الزمنية وذلك في البيانات التي تتسم بالترددات العالية<sup>[13]</sup> التي تمتاز بعدم ثبات التباين ، ولقد طور كل من الباحثين ( Baillie & Bollerslev ) عام (1990) هذه النماذج لتوصيف عمليات التقلب الموسمية المعتمدة على الزمن أذ وجد أن الارتباط الذاتي لمربعات البوافي يكون معنوي عند الإزاحات الموسمية مثل ( الأسبوع أو الشهر أو الفصل ) ومع ذلك يجب عدم أهمال الارتباطات الذاتية عند الإزاحات غير الموسمية ، أذ أن ما يميز نماذج التقلبات الموسمية المضاعفة أنها تكون مناسبة للسلسل الزمنية أي إنما وجد الارتباط الذاتي معنوي عند كل من الإزاحات الموسمية ( seasonal lags ) والازاحات غير الموسمية المتاخمة ( - adjacent non seasonal lags )<sup>[5]</sup> ، فأن نموذج SGARCH يكون مقيد بشرط أن التباين الشرطي يجب أن يستخدم المعلومات لكل من البوافي التربيعية الماضية والتباينات الشرطية المزاحة ، كما أن نموذج ( SGARCH ) يمكن أن يختزل إلى نموذج ( SARCH ) الذي يتضمن فقط البوافي التربيعية الماضية<sup>[15]</sup> .



التنبؤ باستعمال نماذج الانحدار الذاتي العامة الم Shrutea بعدم تجانس التباين [GARCH] الموسعة مع تطبيق عملي

نماذج  $SGARCH(p,q) \times (P,Q)s$  يمكن أن تعرف بالشكل الآتي :-  
..... (1)  $y_t = \mu + \epsilon_t$

$$z_t \approx iid N(0,1)$$

**سلسلة مستقلة ومتماثلة التوزيع ( Identically Independent distribution )** وتتبع التوزيع الطبيعي، القباقيس، يمتهن سطح صرف وتبان، واحد

ان معادلة التباين المشروط لنموذج  $GARCH$  الموسمي المضاعف تعطى بالشكل الآتي<sup>[15]</sup> :

$$\begin{aligned} \alpha_i &\geq 0 & \text{for } i = 1, 2, \dots, p + Ps, \omega > 0 \\ \beta_j &\geq 0 & \text{for } j = 1, 2, \dots, q + Qs \end{aligned} \quad \text{ادان}$$

وأن  $s$  تمثل الفترة الموسمية (Seasonal period)

يمكن أن تكتب معادلة التباين الشرطي لإنموذج SGARCH بشكل آخر<sup>[1]</sup> :  

$$- h_t = \alpha_0 + \alpha_1 r_{t-1}^2 + \alpha_2 h_{t-1}$$

حيث أن سلسلة غير مرتبطة بالإضافة إلى أنها غير متماثلة التوزيع.

$$E \mathbf{u}_t = 0 \quad \text{وأن}$$

$$Cov(u_t, u_{t-j}) = 0 \quad \text{For all } j > 0$$

وبأعادة ترتيب الحدود نحصل على

وبالتبعيض في معادلة التباين لنموذج  $SGARCH(p,q) \times (P,Q)_s$  نحصل على

$$\epsilon^2_t - u_t = \omega + \sum_{i=1}^{p+ps} \alpha_i \epsilon^2_{t-i(s)} + \sum_{j=1}^{q+qs} \beta_j (\epsilon^2_{t-j(s)} - u_{t-j})$$

[1] الاستيقاء، من قبل الباحث . \*\*\*

$$\epsilon_t^2 = \omega + \sum_{i=1}^{p+ps} \alpha_i \epsilon_{t-i(s)}^2 + \sum_{j=1}^{q+qs} \beta_j \epsilon_{t-j(s)}^2 + u_t - \sum_{j=1}^{q+qs} \beta_j u_{t-j(s)}$$

$$\epsilon_t^2 = \omega + \sum_{i=1}^{\max(p+ps, q+qs)} (\alpha_i + \beta_i) \epsilon_{t-i(s)}^2 + u_t - \sum_{j=1}^{q+qs} \beta_j u_{t-j(s)}$$

$$\epsilon^2_t = \omega + \sum_{i=1}^r (\alpha_i + \beta_i) \epsilon^2_{t-i(s)} + u_t - \sum_{j=1}^{q+Qs} \beta_j u_{t-j(s)} \quad (3)$$

$$r = \max(p + Ps, q + Qs) \quad \text{حيث ان}$$

ان المعادلة (3) يمكن عدها  $s$  Seasonal ARMA ( $m, q$ )  $\times$  (  $M, Q$  ) ، علما ان  $M = \max(P, Q)$  ،  $m = \max(p, q)$  ، ويتحقق هذا التمثيل من خلال المعادلة الآتية :

$$\{1 - [\theta(L) - \theta_s(L)]\} \Phi(L^s) \epsilon_t^2 = \omega + \theta(L) \Theta(L^s) u_t \dots \dots \dots (4)$$



### Seasonal Back Shift Operator

حيث ان  $L^s$  تمثل عامل الازاحة الخلفي الموسمي

وباستخدام (  $u_t = \epsilon_t^2 - h_t$  ) مرة اخرى و بتغييرها في (4)

$$\{1 - [\varnothing(L) - \theta(L)]\} \Phi(L^s) \epsilon_t^2 = \omega + \theta(L) \Theta(L^s) [\epsilon_t^2 - h_t]$$

$$\{1 - [\varnothing(L) - \theta(L)]\} \Phi(L^s) \epsilon_t^2 = \omega + \theta(L) \Theta(L^s) \epsilon_t^2 - \theta(L) \Theta(L^s) h_t$$

حيث ان :

$$\varnothing(L) = 1 - \sum_{i=1}^p \varnothing_i L^i , \quad \theta(L) = 1 - \sum_{j=1}^q \theta_j L^j$$

$$\Phi(L^s) = 1 - \sum_{i=1}^p \Phi_i L^{s(i)} , \quad \Theta(L^s) = 1 - \sum_{j=1}^q \Theta_j L^{s(j)}$$

وباعادة ترتيب الحدود

$$\theta(L) \Theta(L^s) h_t = \omega + [\theta(L) \Theta(L^s) - \{1 - [\varnothing(L) - \theta(L)]\} \Phi(L^s)] \epsilon_t^2$$

نحصل على إنماذج GARCH الموسمي المضاعف

$$\theta(L) \Theta(L^s) h_t = \omega + \alpha(L) \epsilon_t^2 \dots \dots \dots (5)$$

حيث ان

$$\alpha(L) = \theta(L) \Theta(L^s) - \{1 - [\varnothing(L) - \theta(L)]\} \Phi(L^s)$$

وان فرض الاستقرارية لمرجعيات الباقي ( $\epsilon_t^2$ ) التي تمثل إنماذج

نتمثّل بالاتي [9] :-

كل متعددات الحدود  $1 - \{1 - [\varnothing(L) - \theta(L)]\} \Phi(L^s) = 0$  تقع خارج دائرة الوحدة ( outside unit )

(circle

أذ ان  $\psi$  متسلسلة من الثوابت تم الحصول عليها من العلاقة :

$$\psi(L) \{1 - [\varnothing(L) - \theta(L)]\} \Phi(L^s) = \theta(L) \Theta(L^s)$$

حيث ان

$$\psi(L) = \sum_{j=0}^{\infty} \psi_j L^j$$

### الكشف عن الموسمية :-

يتم التأكيد من وجود عنصر الموسمية باستخدام التحليل البياني للسلسلة الزمنية والذي يتضح من خلال التقىبات المتكررة على نفس الوتيرة بفترات زمنية ثابتة والمعرفة المسيبة بسلوك السلسلة الزمنية، كذلك يتم الكشف عن النمط الموسمي باستخدام الاختبارات الإحصائية ومنها :

#### Kruskall - wallis Test

وهو اختبار لامعملي يعد امتداداً لاختبار (Mann-Whitney) [11]، يستثنى استخدامه لاختبار الفروق عند وجود عدد أكبر من المجموعات (أي أكثر من مجموعتين) ويتمثل شكل هذا الاختبار بما يأتي :-

لاتوجد موسمية في السلسلة الزمنية  $H_0$  :

توجد موسمية في السلسلة الزمنية

$:H_1$



## التنبؤ باستعمال نماذج الانحدار الذاتي العامة المشروطة بعدم تجانس التباين [GARCH] الموسمية مع تطبيق عملي

أن قبول الفرضية الصفرية يعني عدم وجود تأثير موسمي في بيانات السلسلة الزمنية ، أما إذا تم رفض الفرضية الصفرية وقبول الفرضية البديلة دل ذلك على وجود الموسمية في بيانات السلسلة الزمنية [11] .  
أن معيار الاختبار يعطى بالشكل الآتي [4] :

$$KW = \left[ \frac{12}{N(N+1)} \sum_{i=1}^K \frac{R_i^2}{n_i} \right] - 3(N+1) \sim \chi^2_{(K-1)} \dots (6)$$

إذ إن :

$R_i$  : تمثل مجموع رتب المشاهدات المقابلة للفصل  $i$

$n_i$  : تمثل عدد المشاهدات المقابلة للفصل  $i$

$K$  : الدورة (period) التي تساوي 4 في المشاهدات الفصلية ، 5 في المشاهدات اليومية 12 في المشاهدات الشهرية وهكذا .

$N$  : عدد المشاهدات ، وإن  $N = \sum_{i=1}^K n_i$

و يتم اتخاذ القرار برفض الفرضية الصفرية ( Null hypothesis ) إذا كانت  $KW > \chi^2_{(K-1)}$  بمعنى أن السلسلة الزمنية تحتوي على الموسمية ، وبخلافه تقبل الفرضية الصفرية ( Null hypothesis ) .

التشخيص :-

تعد مرحلة التشخيص المرحلة الأهم من مراحل بناء نماذج السلاسل الزمنية ففي هذه المرحلة يتم تشخيص الإنموذج أستنادا إلى البيانات المتاحة ، ونظراً لعدم استقرارية معظم السلاسل الزمنية الاقتصادية وبالخصوص المالية لذلك يتم تحويل سلسلة الأسعار إلى سلسلة العوائد التي تتميز باستقراريتها وتتنبأ بها حول الوسط ، وأن سلسلة العوائد تستند إلى التعريف الرياضي الآتي [12] :-

$$y_t = \ln\left(\frac{p_t}{p_{t-1}}\right) = \ln(p_t) - \ln(p_{t-1}) \dots (7)$$

ولتشخيص نماذج SGARCH يتم استخدام كل من الاختبارين الآتيين ليتم التعرف من خلالهما عن وجود مشكلة عدم تجانس تباين الخطأ العشوائي ( Heteroscedasticity ) .

### أولاً - اختبار ( Ljung-Box Test ) :-

عام 1978 استحدث كل من الباحثين ( Ljung & Box ) هذا الاختبار والذي يستخدم على نطاق واسع لإختبار عشوائية أخطاء السلسلة الزمنية عن طريق حساب معاملات الارتباط الذاتي للباقي لمجموعة من الإزاحات ، وأن فرضية الاختبار تكتب بالصيغة الآتية [7] :-

$$\rho_1 = \rho_2 = \cdots = \rho_k = \rho_m = 0 \quad \text{for } k = 1, 2, \dots, m \quad H_0$$

$$\rho_k \neq 0 \quad \text{for some value of } k \quad H_1$$

وإن إحصاء الاختبار تعطى بالعلاقة الآتية [8] :

$$Q_{LB} = n(n+2) \sum_{k=1}^m \frac{\hat{\rho}_k^2}{n-k} \sim \chi^2_{(m-p)} \dots (8)$$

إذ إن :

$n$  تمثل حجم العينة .

$m$  عدد الإزاحات للارتباط الذاتي .

$P$  عدد المعلمات المقدرة في النموذج .



## التنبؤ باستعمال نماذج الانحدار الذاتي العامة المشروطة بعدم تجانس التباين [GARCH] الموسمية مع تطبيق عملي

$\hat{\beta}_k$  تمثل مقدرات معاملات الارتباط الذاتي لسلسلة البوافي  $\mu - \epsilon_t = y_t$  و لمربع سلسلة البوافي  $\epsilon_t^2$  ثم يتم مقارنة قيمة أحصاء الاختبار  $Q_{LB}$  مع القيمة الجدولية لاختبار  $x^2_{(m-p)}$  ولمستوى دلالة  $\alpha$  ، فإذا كان  $Q_{LB} > x^2_{(m-p)}$  دل ذلك على رفض فرضية العدم وقبول الفرضية البديلة بمعنى وجود مشكلة عدم تجانس التباين (*Heteroscedasticity*)<sup>[17]</sup>. أما اذا كان  $Q_{LB} < x^2_{(m-p)}$  دل ذلك على عدم رفض فرضية العدم أي ان الاخطاء  $\epsilon_t = y_t - \mu$  عشوائية ولا توجد مشكلة عدم تجانس التباين أي لا يوجد تأثير (*Heteroscedasticity*)<sup>[17]</sup>.

### ثانياً - اختبار ARCH Test

عام 1982 أقترح (Angle) اختبار يستخدم لبيان وجود مشكلة عدم تجانس تباين الخطأ العشوائي Heteroscedasticity من عدمه ، ويستند هذا الاختبار على مضاعف لكرانج (Lagrange Multiplier) لاختبار نماذج (ARCH) يتم تطبيق الاختبار بتقدير  $y_t = \mu + \epsilon_t$  باستخدام طريقة المربعات الصغرى مع الاحتفاظ بالبوافي الناتجة من التقدير، ثم بعد ذلك يتم حساب مربعات البوافي ثم القيام بتقدير أنحدار مربعات البوافي  $\epsilon_t^2$  على مربعات البوافي لفترات السابقة<sup>[16]</sup> ، أي

$$\epsilon_t^2 = \omega + \sum_{i=1}^p \alpha_i \epsilon_{t-i}^2 + u_t$$

إذ يتم حساب معامل التحديد  $R^2$  للمعادلة اعلاه ، ثم بعد ذلك حساب احصاء مضاعف لكرانج (*LM*) الذي يخضع لتوزيع  $x^2$  بدرجة حرية ( $p$ ) ومستوى معنوية  $\alpha$  . وأن فرضية الاختبار تعطي كالتالي :

$$H_0: \alpha_1 = \alpha_2 = \dots = \alpha_p = 0$$

$$H_1: \alpha_1 \neq \alpha_2 \neq \dots \neq \alpha_p \neq 0$$

وأن احصاء مضاعف لكرانج تعطي بالعلاقة الآتية :

$$LM = T \times R^2 \sim x^2_{(p)} \dots (9)$$

علماً أن  $T$  : تمثل حجم العينة (Sample size) .  
 $P$  : عدد المعلمات المقدرة في النموذج .

وتحت فرضية العدم المتمثلة في أن الأخطاء متجانسة إذا كان  $x^2_{(p)} > LM$  نرفض فرضية العدم أي توجد مشكلة عدم تجانس تباين الخطأ (*Heteroscedasticity*) (ARCH) (ووجود تأثير لـ *ARCH*) وبخلافه نقبل فرضية العدم أي لا توجد مشكلة عدم تجانس تباين الخطأ وبالتالي لا يوجد تأثير لـ *ARCH*)<sup>[11]</sup>.

التقدير :-

تعد طريقة الإمكان الأعظم الشرطية من أكثر الأساليب شيوعاً للتقدير ، إذ يتم استخدامها في تقدير نماذج التقلب المشروطه التي تنطلق من فرضية أن للأخطاء توزيع معين والذي عادة ما يكون توزيع طبيعي .

$$f(\epsilon_t) = \frac{1}{\sqrt{2 \pi h_t}} \exp \left( -\frac{1}{2} \cdot \frac{\epsilon_t^2}{h_t} \right)$$

يتتم تقدير إنموذج SGARCH ( $p,q) \times (P,Q)_s$  كالتالي<sup>[2]</sup>:



**التنبؤ باستعمال نماذج الانحدار الذاتي العامة المشروطة بعدم تجانس التباين  
[الموسمية مع تطبيق عملي GARCH ]**

إن متوجه المعلمات يعطى بالشكل الآتي :

$$\theta = (\omega, \alpha_1, \dots, \alpha_{p+q_s}, \beta_1, \dots, \beta_{q+q_s})$$

$$V'_t = \frac{\partial h_t}{\partial \theta} = (1, \epsilon^2_{t-1(s)}, \dots, \epsilon^2_{t-(p+q_s)}, h_{t-1(s)}, \dots, h_{t-(q+q_s)})$$

عندما  $SGARCH(1,1) \times (1,1)_5$  اي  $p=1, q=1, P=1, Q=1, S=5$   
المعلمات  $\theta = (\omega, \alpha_1, \alpha_2, \beta_1, \beta_2)$

وان دالة اللوغاريتم الطبيعي ولحجم  $n$  تكتب بالشكل الآتي :

$$L(\theta) = L(\omega, \alpha_1, \alpha_2, \beta_1, \beta_2) = \sum_{t=1}^n I_t(\omega, \alpha_1, \alpha_2, \beta_1, \beta_2)$$

$$I_t(\omega, \alpha_1, \alpha_2, \beta_1, \beta_2) = -\frac{1}{2} \ln(h_t) - \frac{1}{2} \left( \frac{\epsilon^2_t}{h_t} \right) \quad \text{اذا ان}$$

$$h_t = \omega + \alpha_1 \epsilon^2_{t-1} + \alpha_2 \epsilon^2_{t-5} + \beta_1 h_{t-1} + \beta_2 h_{t-5} \quad \text{وان}$$

وبايجاد المشتقة الجزئية للوغاريتم الطبيعي لمتجه المعلمات أي  $I_t(\omega, \alpha_1, \alpha_2, \beta_1, \beta_2)$

$$\frac{\partial I_t}{\partial \omega} = -\frac{1}{2h_t} + \frac{\epsilon^2_t}{2h^2_t}$$

$$\frac{\partial I_t}{\partial \alpha_1} = -\frac{\epsilon^2_{t-1}}{2h_t} + \frac{\epsilon^2_t \epsilon^2_{t-1}}{2h^2_t}$$

$$\frac{\partial I_t}{\partial \alpha_2} = -\frac{\epsilon^2_{t-5}}{2h_t} + \frac{\epsilon^2_t \epsilon^2_{t-5}}{2h^2_t}$$

الاشتقاق من قبل الباحث [2] \*\*

$$\frac{\partial I_t}{\partial \beta_1} = -\frac{h_{t-1}}{2h_t} + \frac{\epsilon^2_t h_{t-1}}{2h^2_t}$$

$$\frac{\partial I_t}{\partial \beta_2} = -\frac{h_{t-5}}{2h_t} + \frac{\epsilon^2_t h_{t-5}}{2h^2_t}$$

وان المشتقة الجزئية ل  $(L)$

$$\frac{\partial L}{\partial \theta} = \sum_{t=1}^n \frac{1}{2h_t} V'_t \left( \frac{\epsilon^2_t}{h_t} - 1 \right)$$

اذا ان

$$V'_t = \frac{\partial h_t}{\partial \theta} = (1, \epsilon^2_{t-1}, \epsilon^2_{t-5}, h_{t-1}, h_{t-5})$$



**التنبؤ باستعمال نماذج الانحدار الذاتي العامة المشروطة بعدم تجانس التباين  
[ الموسمية مع تطبيق عملي GARCH ]**

إن عناصر مصفوفة فشر ( Fisher Information Matrix ) يمكن إيجادها كالتالي :

$$J_{\theta\theta} = -E \left[ \frac{\partial^2 I_{\theta\theta}}{\partial \theta \partial \theta'} \right] = \begin{bmatrix} I_{\omega\omega} & I_{\omega\alpha_1} & I_{\omega\alpha_2} & I_{\omega\beta_1} & I_{\omega\beta_2} \\ I_{\alpha_1\omega} & I_{\alpha_1\alpha_1} & I_{\alpha_1\alpha_2} & I_{\alpha_1\beta_1} & I_{\alpha_1\beta_2} \\ I_{\alpha_2\omega} & I_{\alpha_2\alpha_1} & I_{\alpha_2\alpha_2} & I_{\alpha_2\beta_1} & I_{\alpha_2\beta_2} \\ I_{\beta_1\omega} & I_{\beta_1\alpha_1} & I_{\beta_1\alpha_2} & I_{\beta_1\beta_2} & I_{\beta_1\beta_1} \\ I_{\beta_2\omega} & I_{\beta_2\alpha_1} & I_{\beta_2\alpha_2} & I_{\beta_2\beta_1} & I_{\beta_2\beta_2} \end{bmatrix}$$

يتم الحصول أولاً على عناصر مصفوفة (Hessian)

$$\frac{\partial^2 I_t(\theta)}{\partial \omega^2} = -\frac{1}{2h^2 t} \left( \frac{2\epsilon^2 t}{h_t} - 1 \right)$$

$$\frac{\partial^2 I_t(\theta)}{\partial \alpha_1^2} = -\frac{\epsilon^4 t-1}{2h^2 t} \left( \frac{2\epsilon^2 t}{h_t} - 1 \right)$$

$$\frac{\partial^2 I_t(\theta)}{\partial \beta_1^2} = -\frac{h^2 t-1}{2h^2 t} \left( \frac{2\epsilon^2 t}{h_t} - 1 \right)$$

$$\frac{\partial^2 I_t(\theta)}{\partial \alpha_2^2} = -\frac{\epsilon^4 t-5}{2h^2 t} \left( \frac{2\epsilon^2 t}{h_t} - 1 \right)$$

$$\frac{\partial^2 I_t(\theta)}{\partial \beta_2^2} = -\frac{h^2 t-5}{2h^2 t} \left( \frac{2\epsilon^2 t}{h_t} - 1 \right)$$

$$\frac{\partial^2 I_t(\theta)}{\partial \omega \partial \alpha_1} = -\frac{\epsilon^2 t-1}{2h^2 t} \left( \frac{2\epsilon^2 t}{h_t} - 1 \right)$$

$$\frac{\partial^2 I_t(\theta)}{\partial \omega \partial \alpha_2} = -\frac{\epsilon^2 t-5}{2h^2 t} \left( \frac{2\epsilon^2 t}{h_t} - 1 \right)$$

$$\frac{\partial^2 I_t(\theta)}{\partial \omega \partial \beta_1} = -\frac{h_{t-1}}{2h^2 t} \left( \frac{2\epsilon^2 t}{h_t} - 1 \right)$$

$$\frac{\partial^2 I_t(\theta)}{\partial \omega \partial \beta_2} = -\frac{h_{t-5}}{2h^2 t} \left( \frac{2\epsilon^2 t}{h_t} - 1 \right)$$

$$\frac{\partial^2 I_t(\theta)}{\partial \alpha_1 \partial \alpha_2} = -\frac{\epsilon^2 t-1 \epsilon^2 t-5}{2h^2 t} \left( \frac{2\epsilon^2 t}{h_t} - 1 \right)$$

$$\frac{\partial^2 I_t(\theta)}{\partial \alpha_1 \partial \beta_1} = -\frac{\epsilon^2 t-1 h_{t-1}}{2h^2 t} \left( \frac{2\epsilon^2 t}{h_t} - 1 \right)$$

$$\frac{\partial^2 I_t(\theta)}{\partial \alpha_1 \partial \beta_2} = -\frac{\epsilon^2 t-1 h_{t-5}}{2h^2 t} \left( \frac{2\epsilon^2 t}{h_t} - 1 \right)$$

$$\frac{\partial^2 I_t(\theta)}{\partial \alpha_2 \partial \beta_1} = -\frac{\epsilon^2 t-5 h_{t-1}}{2h^2 t} \left( \frac{2\epsilon^2 t}{h_t} - 1 \right)$$

$$\frac{\partial^2 I_t(\theta)}{\partial \alpha_2 \partial \beta_2} = -\frac{\epsilon^2 t-5 h_{t-5}}{2h^2 t} \left( \frac{2\epsilon^2 t}{h_t} - 1 \right)$$



## التنبؤ باستعمال نماذج الانحدار الذاتي العامة المشروطة بعدم تجانس التباين [الموسمية مع تطبيق عملي GARCH]

$$\frac{\partial^2 I_t(\theta)}{\partial \beta_1 \partial \beta_2} = - \frac{h_{t-1} h_{t-5}}{2h_t^2} \left( \frac{2\epsilon_t^2}{h_t} - 1 \right)$$

بالتالي فإن عناصر مصفوفة المعلومات تكون كالتالي :

$$I_{\omega\omega} = \frac{1}{2n} \sum_{t=1}^n \frac{1}{h_t^2} \dots (10)$$

$$I_{\omega\alpha_1} = \frac{1}{2n} \sum_{t=1}^n \frac{\epsilon_{t-1}^2}{h_t^2} \dots (11)$$

$$I_{\omega\alpha_2} = \frac{1}{2n} \sum_{t=1}^n \frac{\epsilon_{t-5}^2}{h_t^2} \dots (12)$$

$$I_{\omega\beta_1} = \frac{1}{2n} \sum_{t=1}^n \frac{h_{t-1}}{h_t^2} \dots (13)$$

$$I_{\omega\beta_2} = \frac{1}{2n} \sum_{t=1}^n \frac{h_{t-5}}{h_t^2} \dots (14)$$

$$I_{\alpha_1\alpha_1} = \frac{1}{2n} \sum_{t=1}^n \frac{\epsilon_{t-1}^4}{h_t^2} \dots (15)$$

$$I_{\beta_1\beta_1} = \frac{1}{2n} \sum_{t=1}^n \frac{h_{t-1}^2}{h_t^2} \dots (16)$$

$$I_{\beta_2\beta_2} = \frac{1}{2n} \sum_{t=1}^n \frac{h_{t-5}^2}{h_t^2} \dots (17)$$

$$I_{\alpha_1\beta_1} = \frac{1}{2n} \sum_{t=1}^n \frac{\epsilon_{t-1}^2 h_{t-1}}{h_t^2} \dots (18)$$

$$I_{\alpha_1\alpha_2} = \frac{1}{2n} \sum_{t=1}^n \frac{\epsilon_{t-1}^2 \epsilon_{t-5}^2}{h_t^2} \dots (19)$$

$$I_{\alpha_1\beta_2} = \frac{1}{2n} \sum_{t=1}^n \frac{\epsilon_{t-1}^2 h_{t-5}}{h_t^2} \dots (20)$$

$$I_{\alpha_2\beta_1} = \frac{1}{2n} \sum_{t=1}^n \frac{\epsilon_{t-5}^2 h_{t-1}}{h_t^2} \dots (21)$$

$$I_{\alpha_2\beta_2} = \frac{1}{2n} \sum_{t=1}^n \frac{\epsilon_{t-5}^2 h_{t-5}}{h_t^2} \dots (21)$$

$$I_{\beta_1\beta_2} = \frac{1}{2n} \sum_{t=1}^n \frac{h_{t-1} h_{t-5}}{h_t^2} \dots (22)$$

$$I_{\alpha_2\alpha_2} = \frac{1}{2n} \sum_{t=1}^n \frac{\epsilon_{t-5}^4}{h_t^2} \dots (23)$$

ثم يتم التعويض بالصيغة الآتية لإيجاد المقدرات

$$\theta_{j+1} = \theta_j + J^{-1}_{\theta\theta} (\theta_j) \nabla L(\theta_j) \dots (24)$$



## التنبؤ باستعمال نماذج الانحدار الذاتي العامة المشروطة بعدم تجانس التباين [GARCH] الموسمية مع تطبيق عملي

### معايير اختيار رتبة النموذج

إن اختيار الإنمودج الأفضل هو جوهر تحليل البيانات لأن ذلك يعود في نهاية المطاف بنتائج تنبؤ جيدة.

وأن أكثر المعايير المستخدمة :

#### Akaikes Information criterion

(AIC) معيار معلومات أكايكى :

قدم الباحث (Hirotugu Akaike) عام (1973) معيارا يطلق عليه معيار معلومات اكايكى الذي يرمز له اختصارا (AIC)، والذي يعد من أكثر المعايير شيوعا لمعرفة أفضل إنمودج يمثل البيانات [14] وان صيغة المعيار تعطى كالتى [3] :

$$AIC = -2(\text{Maximum likelihood}) + 2K \dots (25)$$

إذ ان  $K$  تمثل عدد معلمات الإنمودج  
ويتم اختيار رتبة الإنمودج التي تكون مقابلاً لأقل قيمة لمعيار AIC .

#### Schwarz Information criterion

(SIC) معيار معلومات شوارتز :

قدم الباحث (Gideon Schwarz) عام (1978) معيار معلومات جديد يطلق عليه معيار Schwarz والذي يرمز له اختصارا (SIC)، وقد طور هذا المعيار لمعالجة مشكلة النقص في الاتساق الذي يعني منه معيار AIC [14] إذ يفرض SIC حد جزاء أشد من AIC والمتمثل بالحد ( $k \ln(n)$ ) [4] وان صيغة المعيار تعطى كالتى [15] :

$$SIC = -2(\text{Maximum likelihood}) + k \ln(n) \dots (26)$$

ويتم اختيار رتبة الإنمودج التي تكون مقابلاً لأقل قيمة لمعيار SIC .

#### Hannan-Quinn criterion

(H-Q)

ثالثاً : معيار معلومات حنان - كوين :

ان صيغة المعيار تكتب كالتى [11] :

$$H - Q = -2(\text{Maximum likelihood}) + 2kC \ln(\ln n)/n \quad C > 2 \dots (27)$$

ويتم اختيار رتبة الإنمودج التي تكون مقابلاً لأقل قيمة لمعيار  $H - Q$  .

### فحص مدى ملائمة النموذج

تعد عملية فحص الإنمودج المقدر من الإجراءات المهمة لبيان فيما إذا كان الإنمودج المقدر ملائماً لتفسير البيانات بشكل جيد ، حتى يمكن الانتقال بعد ذلك لمرحلة التنبؤ بالقيم المستقبلية التي تعد آخر الخطوات وأهمها ، ويتم ذلك بعد ثبات وجود نموذج يلائم البيانات بشكل جيد ليتم استخدامه لحساب التنبؤات المستقبلية .  
في هذا الإطار يتم فحص الإنمودج وتدقيقه باستخدام تحليل سلسلة البوافي القياسية (standardized residual) التي تستخدم للتحقق من مدى ملائمة إنمودج التباين المشروط [12].

$$\hat{Z}_t = \frac{\hat{\epsilon}_t}{\sqrt{\hat{h}_t}} \dots (28)$$

إذ إن

$\hat{Z}_t$  تمثل سلسلة البوافي القياسية .

$$\hat{\epsilon}_t = y_t - \hat{\mu}$$

$\hat{\epsilon}_t$  تمثل سلسلة البوافي ، والتي يتم حسابها من الصيغة الآتية

$$\hat{\sigma}_t = \sqrt{\hat{h}_t}$$



## التنبؤ باستعمال نماذج الانحدار الذاتي العامة المشروطة بعد تجانس التباين [GARCH] الموسمية مع تطبيق عملي

إن سلسلة الانحراف الم Shrōot  $\hat{\epsilon}_t$  يتم حسابها بأخذ الجذر التربيعي بعد تقدير المعلمات للنماذج المدروسة .

لكي نتأكد من أن البوافي القياسي (Standardized innovations) تخضع للتوزيع الطبيعي فأثنا نلجأ لدراسة البوافي من خلال طرفيتين تستخدمان للتأكد من التوزيع الطبيعي للبوافي ،تمثل الأولى باستخدام رسم التوزيع التكراري (Histogram) ، أما الثاني يمثل منحنى الاحتمال الطبيعي (Normal Probability Plot) من خلاله إذا كانت البوافي تتبع التوزيع الطبيعي فإنها تقع على طول الخط المائل تقريبا [12].

كذلك يتم تطبيق كل من اختبار(Ljung-Box) على مربع سلسلة البوافي القياسية  $\hat{\epsilon}^2_t$  وذلك للتأكد من حل مشكلة عدم ثبات تباين الخطأ ، اي بيان مدى الملاءمة بالنسبة لمعادلة التباين  $[15]$  وختبار (ARCH Test) (Volatility equation) يتم تطبيقه أيضا على مربع سلسلة البوافي القياسية وذلك لبيان مدى الملاءمة بالنسبة لمعادلة التباين (التقلبات ) [11].

### Forecasting

بعد التنبؤ أحد أهم أهداف نمذجة السلسلات الزمنية [12] ، وهو يمثل المرحلة الأخيرة من مراحل تحليل السلسلة الزمنية التي لا يمكن الوصول إليها بدون أن يجتاز الإنموذج كافة الفحوص والاختبارات التشخيصية وذلك للتأكد من صحة الإنموذج المستخدم في التنبؤ .

وفيما يأتي توضيح التنبؤ لنماذج SGARCH

أن التنبؤ لإنموذج  $SGARCH(p, q) \times (P, Q)_5$  عندما تكون المعلمات الاعتيادية والموسمية متساوية للواحد ، اي  $SGARCH(1,1) \times (1,1)_5$  كالاتي [3]:

$$h_t = E(\epsilon_t^2 | I_t) = \hat{\omega} + \alpha_1 \epsilon_{t-1}^2 + \alpha_2 \epsilon_{t-5}^2 + \beta_1 h_{t-1} + \beta_2 h_{t-5}$$

### The 1 -step forecast

$$\begin{aligned} h_{t+1} &= E(\epsilon_{t+1}^2 | I_t) = \hat{\omega} + \hat{\alpha}_1 \epsilon_t^2 + \hat{\alpha}_2 \epsilon_{t-4}^2 + \hat{\beta}_1 h_t + \hat{\beta}_2 h_{t-4} \\ &= \hat{\omega} + \hat{\alpha}_1 E(\epsilon_t^2 | I_t) + \hat{\alpha}_2 E(\epsilon_{t-4}^2 | I_t) + \hat{\beta}_1 E(h_t | I_t) + \hat{\beta}_2 E(h_{t-4} | I_t) \\ &= \hat{\omega} + \hat{\alpha}_1 h_t + \hat{\alpha}_2 h_{t-4} + \hat{\beta}_1 h_t + \hat{\beta}_2 h_{t-4} \\ h_{t+1} &= \hat{\omega} + (\hat{\alpha}_1 + \hat{\beta}_1) h_t + (\hat{\alpha}_2 + \hat{\beta}_2) h_{t-4} \end{aligned}$$

### The 2 -step forecast

$$\begin{aligned} h_{t+2} &= E(\epsilon_{t+2}^2 | I_t) = \hat{\omega} + \hat{\alpha}_1 E(\epsilon_{t+1}^2 | I_t) + \hat{\alpha}_2 E(\epsilon_{t-3}^2 | I_t) + \hat{\beta}_1 E(h_{t+1} | I_t) + \\ &\quad \hat{\beta}_2 E(h_{t-3} | I_t) \end{aligned}$$

$$\begin{aligned} &\hat{\omega} + \hat{\alpha}_1 h_{t+1} + \hat{\alpha}_2 h_{t-3} + \hat{\beta}_1 h_{t+1} + \hat{\beta}_2 h_{t-3} = \\ h_{t+2} &= \hat{\omega} + (\hat{\alpha}_1 + \hat{\beta}_1) h_{t+1} + (\hat{\alpha}_2 + \hat{\beta}_2) h_{t-3} \end{aligned}$$

\*\* [3] الاشتراك من قبل الباحث.



### The L -step forecast

$$h_{t+l} = E(\epsilon_{t+l}^2 | I_t) = \hat{\omega} + (\hat{\alpha}_1 + \hat{\beta}_1)h_{t+l-1} + (\hat{\alpha}_2 + \hat{\beta}_2)h_{t+l-5}$$

وبذلك تكون الصيغة العامة لحساب التنبؤ لنماذج  $s$  كالاتي : SGARCH( $p, q$ )  $\times (P, Q)$

$$h_{t+l} = \hat{\omega} + \sum_{i=1}^{p+P_s} \hat{\alpha}_i h_{t+l-i(s)} + \sum_{j=1}^{q+Q_s} \hat{\beta}_j h_{t+l-j(s)} \dots (29)$$

وأن التنبؤ لنماذج التقلبات المستخدمة (SGARCH) تم باستخدام طريقة التنبؤ ضمن العينة (In-Sample Forecast) ، وأن الغرض من هذه الطريقة هو اختبار القدرة التنبؤية للنموذج [12]. وقد توفرت العديد من المعايير لتقدير دقة التنبؤ ضمن العينة منها :-

1-متوسط مربعات الخطأ (MSE)  
يعرف هذا المعيار بأنه معدل الفرق التربيعي بين كل من التباين الفعلي ( $r_t^2$ ) وتقلبات التنبؤ  $h_t$  [12]

وبذلك فإن صيغة (MSE) تعطى كالتالي :-

$$MSE = \frac{1}{n} \sum_{t=1}^n (r_t^2 - \hat{h}_t)^2 \dots (30)$$

إذ إن  
 $\hat{h}_t$  تمثل التباين المقدر .  
 $r_t^2$  تمثل التباين الفعلي .

2-الجذر التربيعي لمتوسط مربعات الخطأ (RMSE)

$$RMSE = \sqrt{\frac{1}{n} \sum_{t=1}^n (r_t^2 - \hat{h}_t)^2} \quad t = 1, 2, \dots, n \dots (31)$$

[12] Mean Absolute Error (MAE)

3- متوسط مطلق الخطأ

$$MAE = \frac{1}{T} \sum_{t=1}^T |r_t^2 - \hat{h}_t^2| \dots (32)$$

Mean Absolute Percentage Error (MAPE)

4- متوسط مطلق الخطأ النسبي

[16]

$$MAPE = \frac{1}{T} \sum_{t=1}^T \frac{|r_t^2 - \hat{h}_t^2|}{r_t^2} \dots (33)$$



## التنبؤ باستعمال نماذج الانحدار الذاتي العامة المشروطة بعدم تجانس التباين [GARCH] الموسمية مع تطبيق عملي

### الجانب التطبيقي :-

#### وصف البيانات :-

البيانات التي نحن بصدده دراستها وتحليلها ، هي عبارة عن البيانات اليومية لأسعار الصرف للدينار العراقي مقابل الدولار الأمريكي وتمتد بيانات الدراسة لمدة من (2010/1/4) إلى (2014/12/31) وتمثل (1303) مشاهدة .

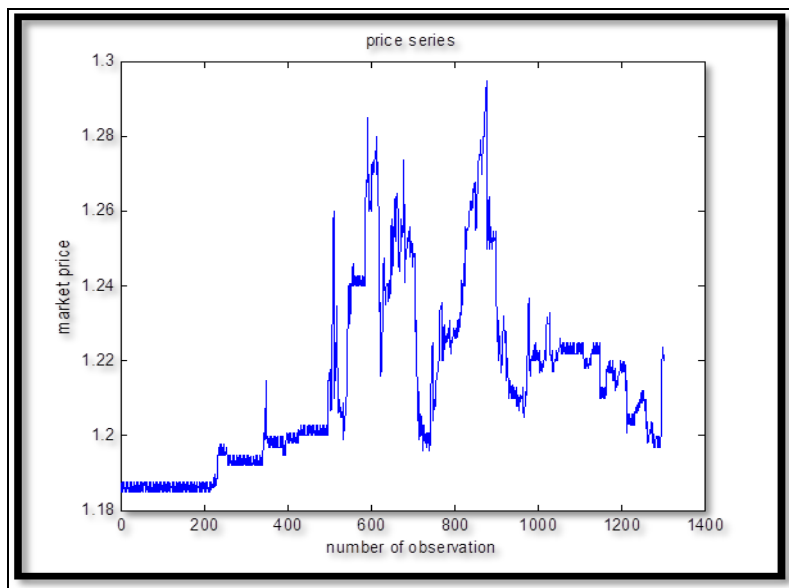
قبل البدء بتحليل السلسلة الزمنية يجبأخذ فكرة عامة عن بيانات الدراسة  
جدول رقم (1) بعض المقاييس الإحصائية لبيانات السلسلة الزمنية .

المؤشر	القيمة
Mean	1.214137
Median	1.210000
Maximum	1.295000
Minimum	1.185000

المصدر : مخرجات برنامج (Mat lab) .

يتبين من الجدول رقم (1) أن أعلى سعر صرف بلغ (1.295000) ألف دينار كان في سنة (2013) وأن أدنى سعر بلغ (1.185000) ألف دينار كان في سنة (2014) كذلك يوضح الجدول المتوسط والوسيط إذ بلغ كل منهما على التوالي (1.214137) و (1.210000) .

الشكل (1) رسم السلسلة الزمنية لأسعار الصرف لمدة من (2010-2014) .



المصدر : مخرجات برنامج (Matlab) .  
يتضح من الشكل (1) أن السلسلة الزمنية لأسعار الصرف غير مستقرة في المتوسط .

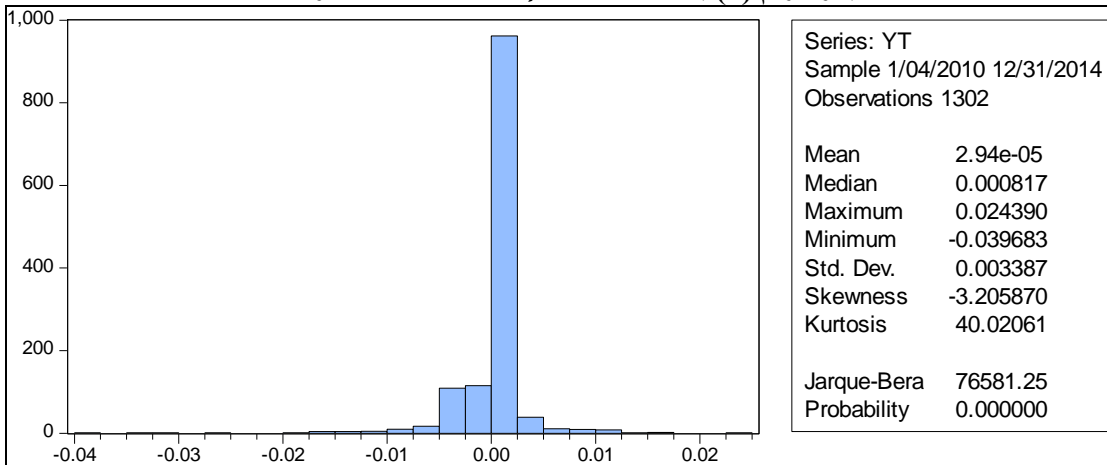


## التنبؤ باستعمال نماذج الانحدار الذاتي العامة المشروطة بعدم تجانس التباين [GARCH] الموسمية مع تطبيق عملي

بعد التأكيد من عدم استقرارية السلسلة الزمنية لابد من تحويل سلسلة الأسعار (price series) إلى سلسلة العوائد (Return series) للحصول على سلسلة مستقرة التي تمثل سلسلة البحث ويتم ذلك باستخدام التحويل اللوغاريتمي الذي يستند إلى التعريف الرياضي الآتي :

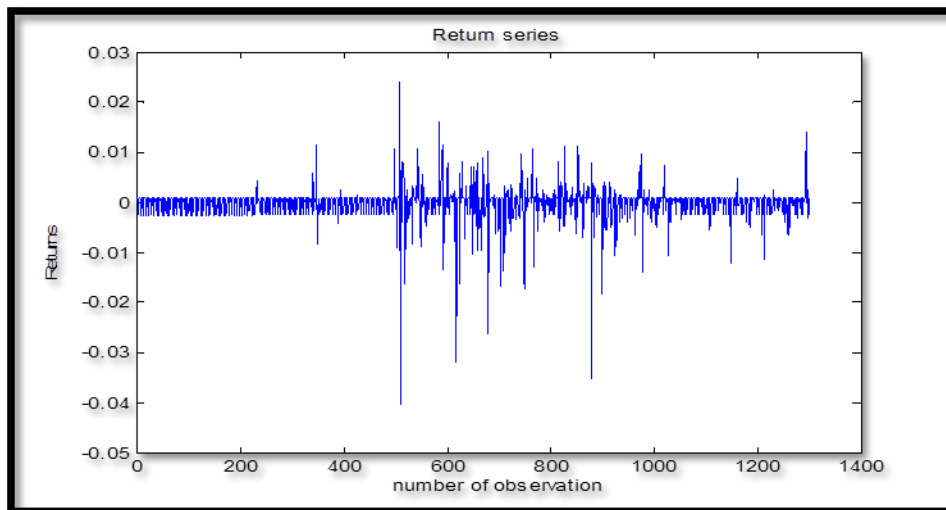
$$y_t = \ln(p_t) - \ln(p_{t-1})$$

جدول رقم (2) بعض المقاييس الإحصائية لسلسلة العوائد .



المصدر : مخرجات برنامج (Eviews 8).  
يوضح الجدول رقم (2) الإحصاءات الوصفية لسلسلة الزمنية للعوائد  $y_t$  للفترة الممتدة من 2010/04/1 إلى 2014/12/31 . وقد أشارت النتائج إن سلسلة العوائد تظهر التواء سالباً (skewness=-3.205870) يدل على عدم وجود تماثل في توزيع العوائد وبالتالي التوانها نحو اليسار ، كذلك يتضح أن سلسلة العوائد تظهر تفاضلاً يكون أكبر مما هو عليه في التوزيع الطبيعي (أكبر من 3) (kurtosis = 40.02061) مما يدل على أن سلسلة العوائد لا تتبع التوزيع الطبيعي .

الشكل (2) رسم سلسلة العوائد ( $y_t$ )



المصدر : مخرجات برنامج (Matlab).  
يتضح من التمثيل البياني أن سلسلة العوائد  $y_t$  المحولة من البيانات الأصلية مستقرة حول المتوسط ، ويتماشى هذا السلوك مع معظم النظريات المالية والنماذج التي تفترض تحويل سلسلة الأسعار إلى العوائد لمنتج سلسلة مستقرة .

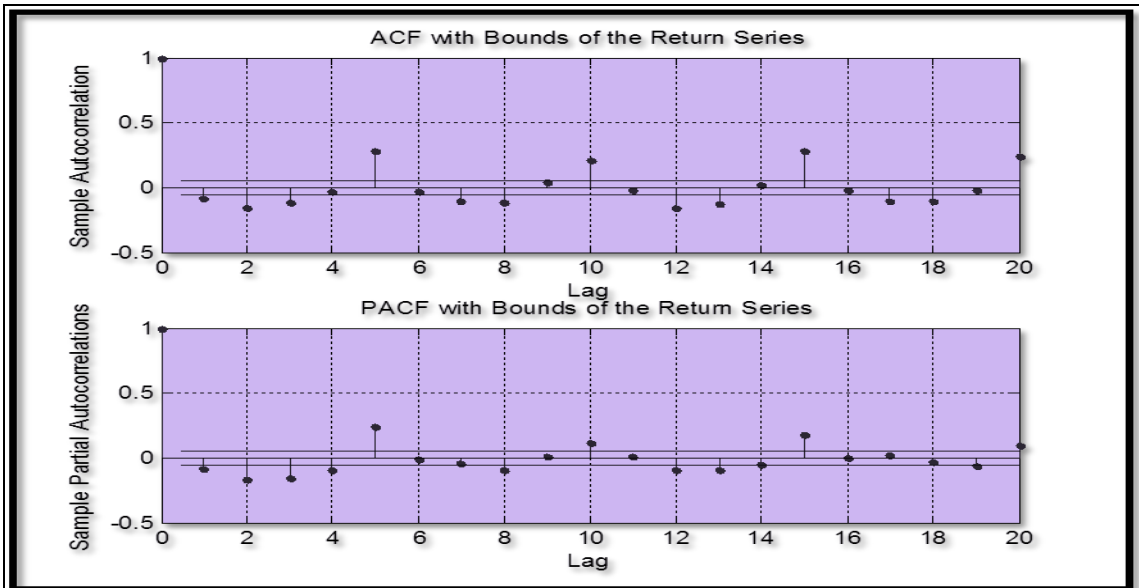


## التنبؤ باستعمال نماذج الانحدار الذاتي العامة المشروطة بعدم تجانس التباين [الموسمية مع تطبيق عملي GARCH]

### الكشف عن الموسمية :-

يتم الكشف عن النمط الموسمى باستخدام الرسم البياني دالة الارتباط الذاتى والارتباط الذاتى الجزئى .

الشكل (3) التمثيل البيانى لدالى الارتباط الذاتى والارتباط الذاتى الجزئى



المصدر : مخرجات برنامج (Matlab).

من رسم دالة الارتباط الذاتى و دالة الارتباط الذاتى الجزئى للسلسلة المدروسة يتبيين وجود اثار موسمية مقدارها (5) أيام . اذ نلاحظ ان معاملات الارتباط الذاتى والذاتى الجزئى مرتبطة و تكون ذات ارتباط اقوى يحدث كل 5 أيام (المشار إليه بالإزاحات ) ، مما يشير إلى وجود النمط الموسمى الذى يتكرر كل 5 أيام . كذلك يتم استخدام اختبار كروسكال وليس للكشف عن النمط الموسمى .

اختبار Kurskall – Wallis

تتمثل فرضية الاختبار بالشكل الآتى :

$H_0$ : لا توجد موسمية

$H_1$ : توجد موسمية

جدول رقم (3) يوضح اختبار (Kruskal-Wallis Test )

Test Statistics <sup>a,b</sup>	
	Yt
Chi-Square	700.121
Df	4
Asymp. Sig.	.000
a. Kruskal Wallis Test	
b. Grouping Variable: DAY, period 5	
المصدر : مخرجات برنامج (SPSS ) .	



**التنبؤ باستعمال نماذج الانحدار الذاتي العامة المشروطة بعدم تجانس التباين  
[GARCH] الموسمية مع تطبيق عملي**

يتضح من الجدول المذكور انفا رفض فرضية عدم عند مستوى معنوية ( 0.05 ) مما يدل على احتواء السلسلة على الموسمية .  
 التشخيص :- يتم في هذه المرحلة التأكيد من إن بيانات الدراسة تعاني من وجود مشكلة عدم تجانس تباين الخطأ العشوائي ( Heteroscedasticity ) ، ويتم ذلك باستخدام الاختبارين ( Ljung-Box test ) ، وفي كل الاختبارين نلاحظ وجود الرقم الثنائي ( binary number ) أي وجود ( 1 ) فإذا ظهر أن :  
 $H=0$  : يشير إلى عدم وجود ارتباط معنوي ، أي وجود مشكلة عدم التجانس .

$H=1$  : يشير إلى وجود ارتباط معنوي ، أي عدم وجود مشكلة عدم التجانس .  
 أ - التحقق من عشوائية سلسلة العوائد والذي يتم باستخدام اختبار ( Ljung-Box ) على سلسلة البوافي .

وقد تم تطبيق الاختبار عند الإزاحات ( 30,25,20,25,10,5,1,30 ) ولمستوى معنوية ( 5% ).  
 جدول رقم ( 4 ) اختبار ( Ljung-Box ) لسلسلة البوافي .

Lag	H	P-value	Test statistics	Critical Value (>)
1	1	0.0023	9.2252	3.8415
5	1	0.000	168.52	11.07
10	1	0.000	263.52	18.307
15	1	0.000	419.81	24.996
20	1	0.000	528.08	31.41
25	1	0.000	592.15	37.652
30	1	0.000	723	43.773

المصدر : مخرجات برنامج (Matlab) .

يتضح من الجدول المذكور انفا وجود ارتباط متسلسل لسلسلة العوائد عند الإزاحات المحددة ، إذ يتضح أن ( p- value ) قيم احتمالها أقل من ( 0.05 ) وبالتالي يتم رفض فرضية عدم ( Null hypothesis ) مما يدل على وجود مشكلة عدم تجانس التباين ( Heteroscedasticity ) .

ب - التتحقق من وجود أثر ( ARCH ) في سلسلة البوافي استنادا إلى اختبار ( ARCH test )  
 جدول رقم ( 5 ) اختبار ( ARCH test ) لسلسلة البوافي

Lag	H	P-value	Test statistics	Critical Value (>)
1	1	e-010 4.9177	38.71	3.8415
5	1	3.7196e-009	47.902	11.07
10	1	8.126e-008	52.796	18.307
15	1	3.0768e-006	53.589	24.996
20	1	8.6935e-006	59.439	31.41
25	1	3.2255e-005	63.649	37.652
30	1	0.00013733	66.577	43.773

المصدر : مخرجات برنامج (Matlab) .

يتبيّن مما سبق رفض فرضية عدم ( Null – hypothesis ) وذلك لأن ( p-value ) جميع قيم احتمالها أقل من ( 0.05 ) مما يدل على أن سلسلة العوائد تعاني من وجود مشكلة عدم التجانس .



**التنبؤ باستعمال نماذج الانحدار الذاتي العامة المشروطة بعدم تجانس التباين  
[GARCH] الموسمية مع تطبيق عملي**

**تقدير النماذج :-**

يتم تقدير معلمات الإنموذج التي تعد المرحلة الثانية التي تأتي بعد الانتهاء من مرحلة التشخيص ، ويتم تقدير معلمات الإنموذج باستخدام طريقة الامكان الاعظم الشرطية وعلى افتراض التوزيع الطبيعي للأخطاء .  
**جدول رقم (6) تقديرات معلمات النماذج الموسمية المقترحة .**

Models	$\mu$	W	$\alpha_1$	$\beta_1$	$\alpha_2$	$\beta_2$
SGARCH(1,1)(1,1)	-0.00054767	0.0020311	0.024172	0.22996	0.044217	0.26236
SGARCH(1,1)(1,0)	-0.00045132	0.0013495	0.023752	0.42669	0.040807	-
SGARCH(1,1)(0,1)	-0.00054825	0.0020779	0.02531	0.30157	-	0.29867
SGARCH(0,1)(0,1)	-0.00054863	0.0023377	-	0.34394	-	0.28237
SGARCH(0,1)(1,0)	-0.00046456	0.0026916	-	0.34392	0.042358	-
SGARCH(0,0)(1,1)	-0.00040299	0.0029921	-	-	0.03	0.2
SGARCH(1,0)(1,0)	-0.00060771	0.0025019	0.021288	-	0.037702	-

**اختيار الإنموذج الملائم :-**

يتم تحديد رتبة الإنموذج الامثل من خلال العديد من المعايير التي تستخدم لتحديد الإنموذج الملائم ، ونتائج هذه المعايير بينها في الجدول رقم (7) .

جدول رقم (7) مقارنة معيار AIC , SIC, H-Q للنماذج الموسمية المقترحة .

Models	AIC	SIC	H-Q
SGARCH(1,1)(1,1)	-5365.7	-5334.7	-5377.7
SGARCH(1,1)(1,0)	-5892.1	-5866.3	-5902.1
SGARCH(1,1)(0,1)	-5367.9	-5342.1	-5377.9
SGARCH(0,1)(0,1)	-5370.1	-5349.4	-5378
SGARCH(0,1)(1,0)	-5828	-5807.3	-5836
SGARCH(0,0)(1,1)	-6219	-6198.4	-6227
SGARCH(1,0)(1,0)	-6415.2	-6394.5	-6423.2

الجدول المذكور انفا يظهر النماذج المقترحة المقدرة باستخدام طريقة الامكان الاعظم وأتضح أن أفضل إنموذج يمثل البيانات هو (SGARCH(1,0)(1,0)) وذلك لأنه أعطى أقل قيمة للمعايير المستخدمة ومن ثم يعد أفضل نموذج يمثل البيانات .

بعد التحقق من الإنموذج الملائم لبيانات الدراسة ، يتم التنبؤ بالتقديرات وفقاً للمعلمات المقدرة لإنموذج SGARCH(1,0)(1,0) .

يتم تعويض قيم المعلمات المقدرة في كل من معادلتي المتوسط والتقلبات (1) و(2) على التوالي نحصل على

$$y_t = -0.00060771 + \epsilon_t \quad , \quad \epsilon_t = z_t \sqrt{h_t}$$

$$h_t = 0.0025019 + 0.021288 \epsilon_{t-1}^2 + 0.037702 \epsilon_{t-5}^2$$

مما ذكر انفا نلاحظ أن معاملات إنموذج (SGARCH(1,0)(1,0)) تختلف معنويًا عن الصفر وقيم المعلمات المقدرة تحقق شرط الاستقرارية ، وبالتالي يعد هذا النموذج أفضل نموذج مقدر من بين النماذج المرشحة .

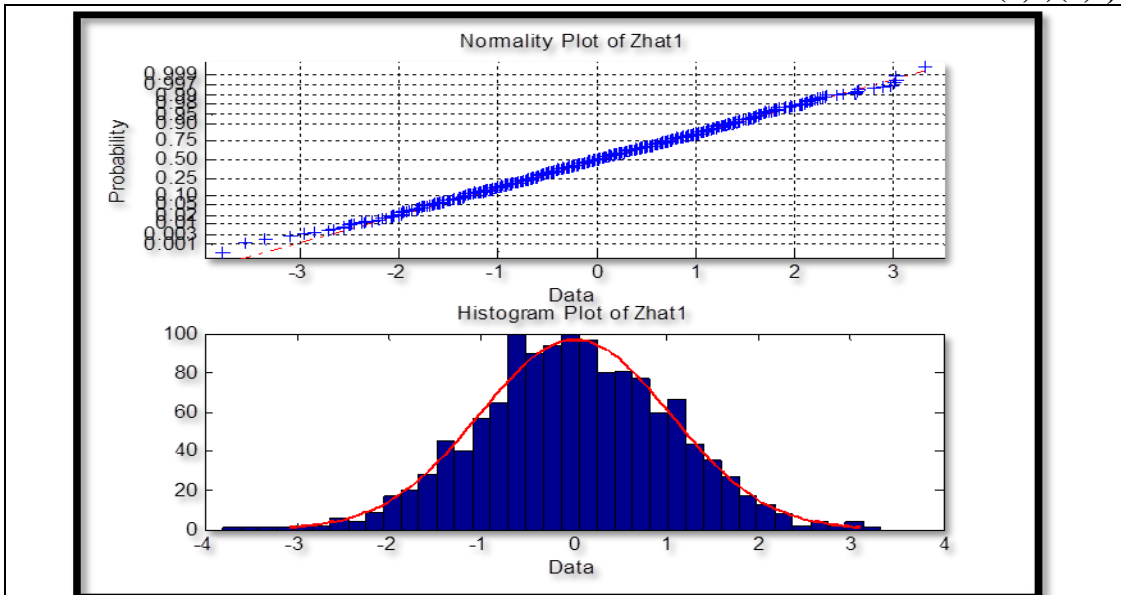


## التنبؤ باستعمال نماذج الانحدار الذاتي العامة المشروطة بعدم تجانس التباين [الموسمية مع تطبيق عملي GARCH]

ثم يتم اختيار ثاني أفضل نموذج  $SGARCH(0,0)(1,1)$  لكونه يمتلك قيم معايير قريبة جداً (very close) من إنماذج  $SGARCH(1,0)(1,0)$ ، ويتم استخدام هذا الإنماذج لغرض المقارنة فقط.

### نخص ملائمة النموذج :-

لكي نتأكد من أن الباقي القياسي (Standardized innovations) لإنماذج  $SGARCH(1,0)(1,0)$  تخضع للتوزيع الطبيعي فانتا نلجأ لدراسة الباقي من خلال الشكل الآتي :  
الشكل رقم (6) يوضح التوزيع التكراري ومنحنى الاحتمال الطبيعي لباقي إنماذج  $SGARCH(1,0)(1,0)$



نلاحظ من الرسمتين المذكورتين انفاً أن منحنى الاحتمال الطبيعي فيه النقاط تنطبق تقريباً على الخط المائل الذي يمثل منحنى التوزيع الطبيعي ، أما بالنسبة الى منحنى التوزيع التكراري فهو يشبه شكل الجرس المتماثل (Asymmetric bell-shaped) أي يشبه الى حد كبير منحنى التوزيع الطبيعي ، لذلك نستطيع مما ذكر انفاً أن الباقي القياسي لإنماذج  $SGARCH(1,0)(1,0)$  تتبع التوزيع الطبيعي .

ذلك يتم تطبيق كل من اختباري Ljung-Box - ARCH Test اللذين تم استخدامهما في مرحلة التخمين على مربع سلسلة الباقي القياسيية .

جدول رقم (8) اختبار Ljung-Box على مربع سلسلة الباقي القياسي .

Lag	H	P-value	Test statistics	Critical Value (<)
1	0	0.38649	0.74997	3.8415
5	0	0.70758	2.9508	11.07
10	0	0.93174	4.3205	18.307
15	0	0.76402	10.838	24.996
20	0	0.79079	14.745	31.41
25	0	0.36445	26.83	37.652
30	0	0.52366	28.885	43.773



## التنبؤ باستعمال نماذج الانحدار الذاتي العامة المشروطة بعدم تجانس التباين [GARCH] الموسمية مع تطبيق عملي

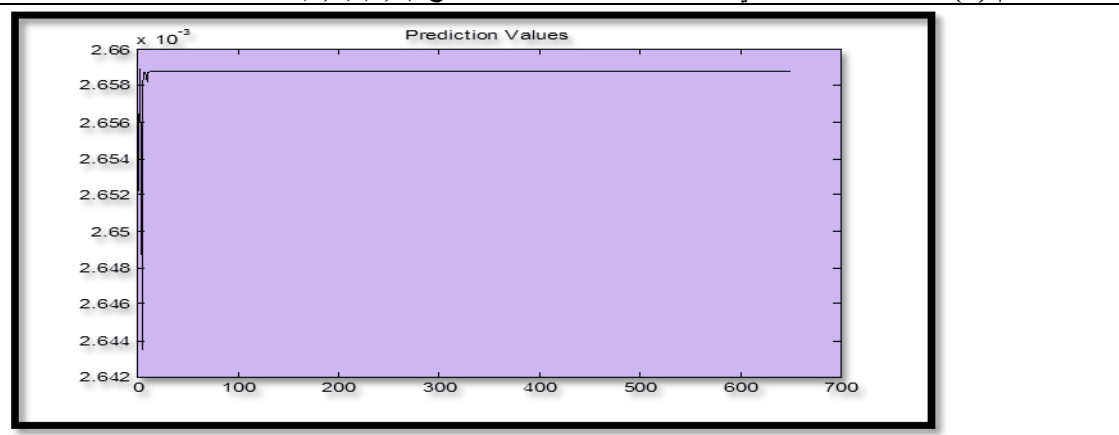
يتبيّن من الجدولين المذكورين انفا قبول فرضية عدم (Null hypothesis) عند الإزاحات المدروسة وذلك لأن (p-value) جميع قيم احتمالها أكبر من (0.05)، مما يدل على عدم وجود أرتباط معنوي في مربع سلسلة الباقي القياسي، والذي يؤكد على عشوائية سلسلة الباقي الباقي. كذلك يتم تطبيق اختبار (ARCH Test) على مربع سلسلة الباقي القياسي للتاكيد من عدم وجود أثر ل (ARCH) ولنفس الإزاحات المدروسة ولمستوى معنوية 5%. والجدول الآتي يوضح اختبار (ARCH) على مربع سلسلة الباقي القياسي.

جدول رقم (9) اختبار (ARCH Test) على مربع سلسلة الباقي القياسي.

Lag	H	P-value	Test statistics	Critical Value (<)
1	0	0.95403	0.0033226	3.8415
5	0	0.99425	0.43693	11.07
10	0	0.88149	5.142	18.307
15	0	0.91911	8.1146	24.996
20	0	0.77118	15.091	31.41
25	0	0.32064	27.726	37.652
30	0	0.45626	30.184	43.773

من الجدول المذكور انفا يتم قبول فرضية عدم وذلك لأن جميع قيم (P-value) أكبر من 0.05 مما يؤكد على عدم وجود أي أثر لمشكلة عدم تجانس التباين. مما سبق نستنتج أن الباقي عشوائية ومستقلة ومتماثلة التوزيع ، لذلك نشرع باستخدام الإنموذج المفضل (SGARCH(1,0)(1,0)) للتنبؤ بتقلبات أسعار الصرف . التنبؤ : - بعد تحديد الإنموذج الملائم للتنبؤ بالأسعار ، تم استخدام طريقة التنبؤ ضمن العينة للتنبؤ بالأسعار لنموذج SGARCH(1,0)(1,0) وفي هذه الطريقة تمت عملية التنبؤ للأسعار بنصف عدد المشاهدات والتي تساوي ( 651 ) مشاهدة.والشكل الآتي يوضح التباين الشرطي المتباين به .

الشكل رقم (8) يبيّن التباين الشرطي المتباين به ضمن العينة لنموذج SGARCH (1,0)(1,0).



نلاحظ من الشكل أعلاه أن التباين الشرطي لأسعار الصرف يستقر في الأونة الأولى . أن التنبؤ ضمن العينة للإنموذج المقدر الذي تم اختياره ليس بالضرورة أن يعطي أفضل تنبؤات ، لذلك وجدت العديد من المعايير التي تستخدم للمقارنة بين التنبؤات ضمن العينة وفي هذا الإطار تم استخدام معايير دقة التنبؤ الآتية ( RMSE, MAE, MSE, MAPE ) التي تستخدم لبيان ما إذا كان النموذج المقدر الذي تم اختياره يعطي فعلاً أفضل تنبؤ . والجدول الآتي يبيّن اختبارات دقة التنبؤ للنموذج المتباين به وثاني أفضل نموذج .



جدول رقم (10) اختبارات دقة التنبؤ لأفضل نماذج SGARCH المقترنة .

Model	MSE	RMSE	MAE	MAPE
SGARCH(1,0)(1,0)	e-0051.6199	0.0040247	0.0025932	773.55
SGARCH(0,0)(1,1)	e-0051.8529	0.0043045	0.0033109	22733

من الجدول السابق نلاحظ أن نموذج (1,0)(1,0) SGARCH يظهر نتائج أفضل فهو يعطي قيمة أقل للمعايير المستخدمة ، لذلك يعد أفضل إنموذج للتنبؤ بالأسعار .

### الاستنتاجات والتوصيات :-

#### الاستنتاجات :

- 1- أثبتت النتائج أن السلسلة المالية الخاصة بسعر الصرف تتصرف بعدم الاستقرارية في المتوسط وأنه لابد من تحويلها إلى سلسلة العوائد التي تتصرف باستقراريتها .
- 2- توصلت الباحثة إلى وجود التقلبات الموسمية الأسبوعية في البيانات الحقيقية لأسعار صرف الدينار مقابل الدولار.
- 3- أثبتت نتائج البحث أن كلا من معايير تحديد رتبة النموذج (AIC, SIC, H-Q) أتفق على أن إنموذج SGARCH (1,0)(1,0) هو أفضل إنموذج ملائم للتنبؤ بالأسعار عندما تتوزع البواعي العشوائية توزيعاً طبيعياً .
- 4- أثبتت النتائج إلى أن إنموذج SGARCH أثبت كفاءته عند التطبيق على البيانات المالية عالية التردد المتمثلة بسعر صرف الدينار مقابل الدولار والتي تمتاز بوجود التقلبات الاعتيادية والموسمية.

#### التوصيات :

- 1 - نوصي بتطبيق إنموذج (SGARCH) على سلاسل زمنية موسمية تمثل بسعر الذهب العراقي ، أسعار النفط العراقي ، أسعار الأغلاق اليومية لمؤشر سوق العراق للأوراق المالية .
- 2 - نوصي بتوسيع الاهتمام بنماذج التقلبات الموسمية كنماذج (Periodic GARCH) وأستخدامها للتنبؤ وللتنبؤ بالتقديرات للسلالس الزمنية المالية .
- 3- نوصي باستخدام طرائق تقدير أخرى لتقدير معالم النموذج الموسمي .

#### المصادر :-

- 1- عبدالله ، سهيل نجم "تحليل نماذج السلاسل الزمنية اللاخطية من نوع (ARCH & GARCH) للرتب الدنيا باستعمال المحاكاة " أطروحة دكتوراه ، جامعة بغداد ، 2008م .
- 2- هتهات ، سعيد " دراسة اقتصادية وقياسية لظاهرة التضخم في الجزائر " رسالة ماجستير ، جامعة قاصدي مرباح ، 2006 م .
- 3- Akaike, H., (1974) ,,"A new look at the statistical model identification " IEEE transactions on automatic control ,vol . Ac – 19, No .6 ,pp. 719-723.
- 4 -Ayalew, S., Babu , M., C., Rao, L.K.M, 2012, " Comparision of new Approach crieteria for estimating the order of Autoregressive process", IOSR Journal of mathematics ( IOSRJM), ISSN: 2278-5728, Volume 1, Issue 3, pp(10-20) .
- 5- Baillie , R.,T, Bollerslev , T., 1990, " Intra-Day and Inter –Market volatility in foreign exchange rates ", Review of economic studies 58, pp(565-585).
- 6-Bollerslev,T., Engle, R., and Nelson ,D.B, (1993)," ARCH models ",Department of economics , University of California, Sandiego, November.



- 7 -Chen , Yi- Ting , 2002, "On the robustness of Ljung -Box and Mcleod -Li Q test : A simulation study ", Economics Bulletin , Vol.3, No. 17, pp(1-17)
- 8- Dong , Y., 2012, " ARMA and GARCH -type modeling electricity prices" , Thesis for the degree of master science . CHALMERS UNIVERSITY OF TECHNOLOGY GÖTEBORG UNIVERSITY , Göteborg Sweden 2012.
- 9- Doshi,A.,2012, " Seasonal volatility models with applications in option pricing , A Thesis submitted to the faculty of graduate studies of the university of Manitoba .
- 10- Dngc,V.,Gon pot, P.N., Sookia,N., (2011),"Forecasting volatility of USD /MUR Exchange rate using a GARCH(1,1)Model with GED and Students-terror " , university of Mauritius research Journal , Reduit, Mauritius , volume 17.
- 11- Goula , M., Fonte ,N.,Wermelinger , M., Abreu , F., 2012," Soft ware evaluation prediction using seasonal time Analysis : a comparative study " , IEEE computer society , pp( 213-222).
- 12- Edward, N. (2011): "Modeling and Forecasting using Time Series GARCH Models: An Application of Tanzania Inflation Rate Data". Master thesis of Science (Mathematical Modeling) of the university of Dares Salaam, Morocco.
- 13- Ghysels , E., Osborn , D., 2001," The Econometric Analysis of seasonal Time series .
- 14 - Javed , F.,Mantalos ,P.,2013 , " GARCH-Type models and the performance of information criteria " , Department of statistics, Lund university .
- 15- Lau ,Suk Ting , 1999," Conditional Hteroscedastic Autoregressive moving average models with seasonal patterns ". Master thesis of philosophy ,Departement of applied mathematics the Hong kong polytechnic University Hong kong .
- 16- Musaddiq , T., 2012, " Modeling and forecasting the volatility of oil futures using the ARCH family models " , The Lahor Journal of Business 1:1(Summer):p.(79-108) .
- 17- Vee, D Ng C. and Gonpot, P. N., Sookia, N. (2011): "Forecasting Volatility of USD/MUR Exchange Rate using a GARCH(1,1) Model With GED and Students-t error". University of Mauritius Research Journal, Reduit, Mauritius, Volume 17.
- 18- Verbic , M., 2011, " Advances in econometric – Theory and Applications .

- 1-السؤال عن تعليم الاختبار لنموذج SGARCH في صفحة رقم 8 ؟  
أعتمدت البحوث السابقة التي تم الاستناد عليها في بحثنا على اختبار الموسمية أولا ثم إجراء اختبار أثر ARCH ونتيجة لتأكدهم من أن بياناتهم موسمية وجود أثر ARCH أي حدوث مشكلة عدم التجانس عند كل من الإزاحات الاعتيادية والموسمية نظراً لموسمية البيانات المدروسة ، أي بدون الحاجة إلى التعليم للحالة الموسمية نظراً لكون البيانات تتصرف بالموسمية ، ولذلك لم يتم التعليم .
- 2-الاستفسار عن الرقم الصحيح لأسعار الصرف ؟  
الرقم تمت كتابته بصورة صحيحة استنادا إلى البيانات المستحصل عليها من البنك المركزي العراقي .



## Forecasting the use of Generalized Autoregressive Conditional Heteroscedastic Models (GARCH) Seasonality with practical application

### Abstract

In this paper has been one study of autoregressive generalized conditional heteroscedasticity models existence of the seasonal component, for the purpose applied to the daily financial data at high frequency is characterized by Heteroscedasticity seasonal conditional, it has been depending on Multiplicative seasonal Generalized Autoregressive Conditional Heteroscedastic Models Which is symbolized by the Acronym (SGARCH) , which has proven effective expression of seasonal phenomenon as opposed to the usual GARCH models. The summarizing of the research work studying the daily data for the price of the dinar exchange rate against the dollar, has been used autocorrelation function to detect seasonal first, then was diagnosed with a problem of heteroscedastic , passing through the phase estimation using the method of Maximum Likelihood Conditional and on the assumption that the random error is distributed normal distribution with the application on more than one rank for seasonal model, then determine the appropriate rank of the specimen using a variety of standards down to the prediction phase, it has been shown through the application on the study data stages that the best model for predicting volatility is SGARCH (1,0)(1,0).

**Key words :** Heteroscedasticity seasonal conditional , Seasonality .